

① الف)

می‌دانیم یکی از ساده‌ترین روش‌ها استفاده از هسته نرم است اما این روش محدودیت‌هایی نیز دارد از جمله اینکه به سایر x ها در نظر گرفته می‌شود. به این منظور از آن جا که در روش پارزون شباهت زیادی به این روش دارد در آن هم ثابت در نظر گرفته می‌شود می‌توان گفت در ایجاد کوچک کمتر است از این روش استفاده کنیم.

ب) از آن جا که هر دو این روش‌ها از جمله روش‌های مان پارانتریک هستند برای حل مسئله اصیاح به کل داده‌ها دارند محلی است سرعت مالا می‌نشانند. در روش پارزون سرعت می‌تواند در مقادیری که تعداد داده‌ها در آن هم ثابت، بالاست پایین باشد. در حالی که در روش KNN مالا بودن تعداد k یا انتخاب متریک پیچیده برای محاسبه سرعت را پایین ببرد. علاوه بر این در روش پارزون چون هم ثابت است محلی تعداد داده‌ها زیاد می‌شود هم شش در عدد نشانده باشد بنابراین احتمالاً در اسناد مالا روش KNN - محلی ثابت در نظر گرفتن k کمتر عمل کند. از خوبی‌های دیگر هر دو این روش‌ها نیز این است که برای داده‌های یک توزیع خاص در تقریبی بیز می‌توانند برای هر توزیع دلخواه از آن‌ها استفاده کرد.

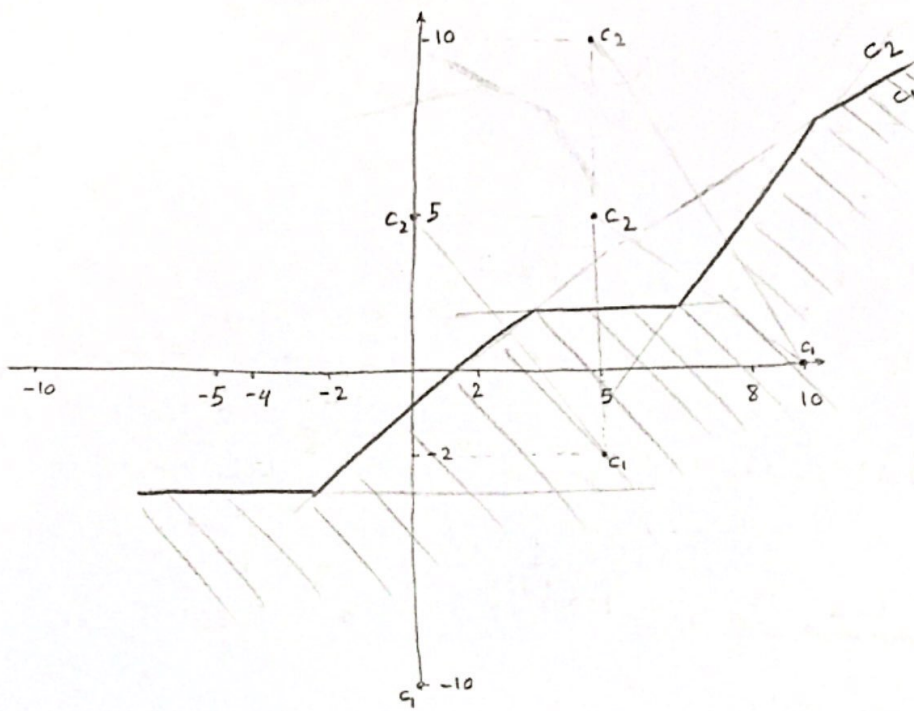
ب) $\hat{\theta}_{MAP} = \arg \max_{\theta} P(\theta | D) = \arg \max_{\theta} p(D | \theta) p(\theta) \rightarrow$ max کردن احتمال posterior

$\hat{\theta}_{MLE} = \arg \max_{\theta} L(\theta | D) = \arg \max_{\theta} P(D | \theta) \rightarrow$ max کردن likelihood

— در صورتی که تعداد داده‌ها زیاد باشد $p(\theta)$ برای هر θ گلاس (یا یکی باشد) تا این تفاوت $p(\theta)$ در MAP و MLE برای هر θ گلاس (یا یکی باشد) این دو تخمین یکسان اند

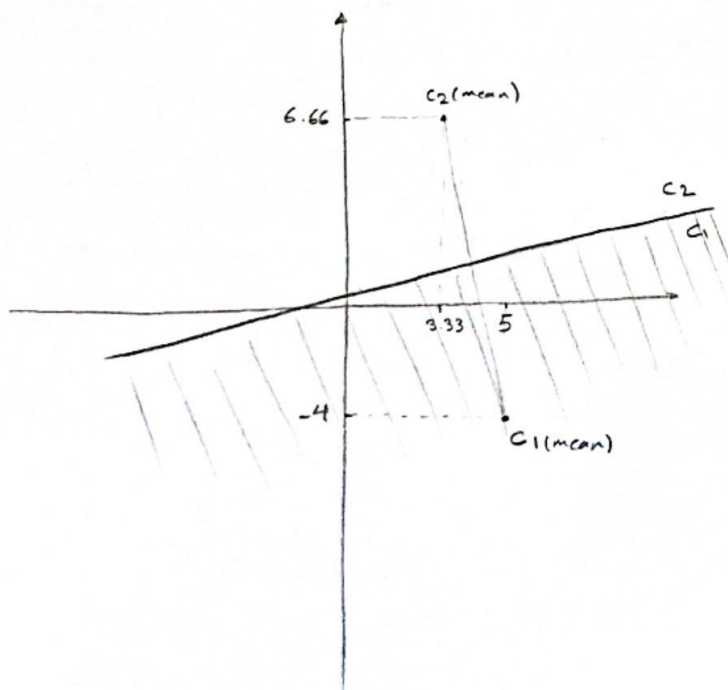
* در این سوال خطوط به صورت تفریق کشیده شده اند.

(2)

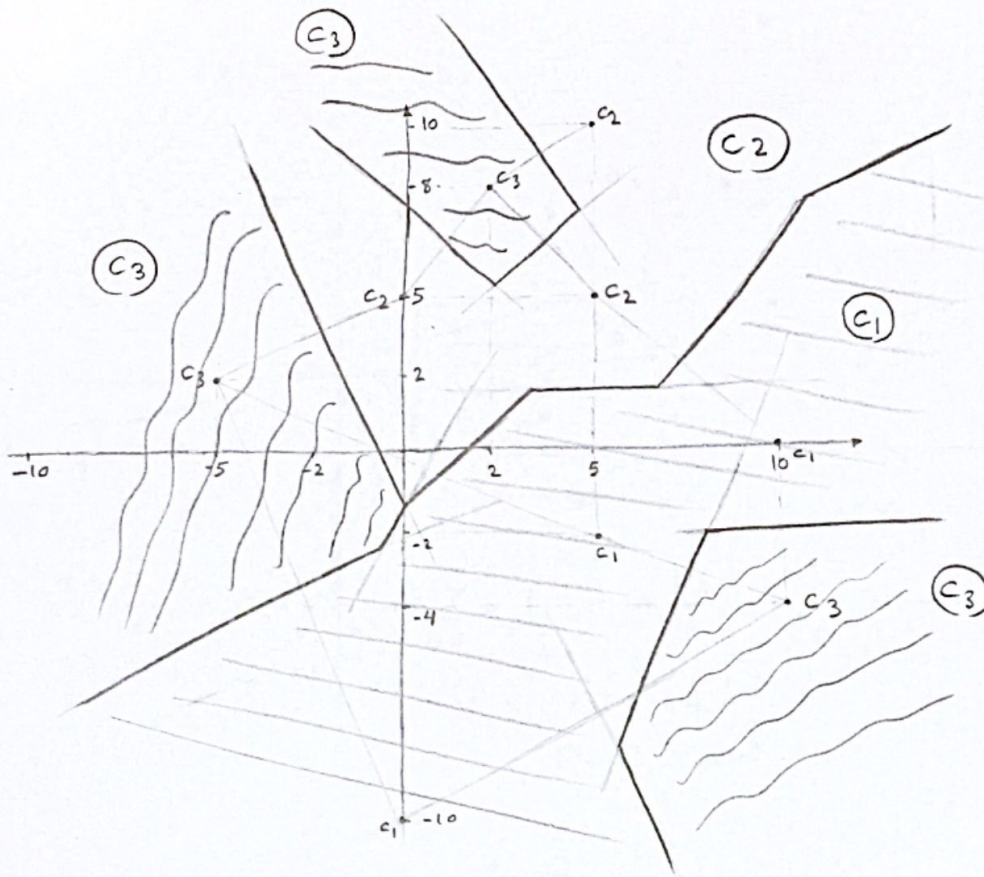


(الف) (از اطلاعات مختلف)
در به در نقاط به هم وصل شده
و نمودار به آنگاه کشیده شده
است و سپس در این نقطه
به کمک آن به دست آمده
است

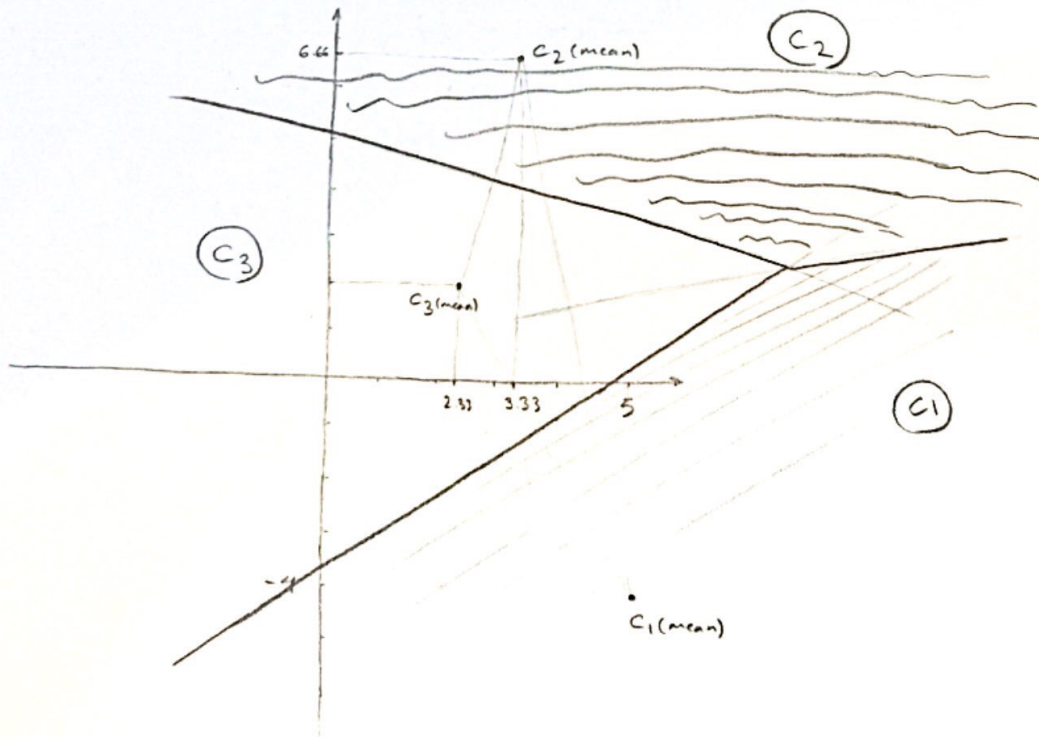
$$c_1 \rightarrow \frac{10+5}{3}, \frac{-10-2}{3} = 5, -4 \quad c_2 \rightarrow \frac{5+5}{3}, \frac{10+5+5}{3} = 3.33, 6.66 \quad (ب)$$



(2)



$$c_1 \rightarrow 5, -4, \quad c_2 \rightarrow 3.33, 6.66, \quad c_3 = \frac{2-5+10}{3} = 2.33, \quad \frac{8+2-4}{3} = 2$$



$$a) P(w_i) = \frac{1}{c}$$

(3)

$$P^* = \int P^*(c|x) p(x) dx, P^*(c|x) = 1 - P(w_{max}|x)$$

$$\rightarrow P(x) = \sum_{i=1}^c P(x|w_i) P(w_i) = \begin{cases} \frac{1}{c} \sum_{i=1}^c 1 = \frac{c}{c} = 1 & 0 \leq x \leq \frac{cr}{c-1} \\ \frac{1}{c} & i \leq x \leq (i+1) - \frac{cr}{c-1} \\ 0 & o.w \end{cases}$$

تنها یک عدد صحیح i در صورت دارد، برای نتیجه می شود \mathbb{Z} تنها برای این غیر 0 است

$$P(w_i|x) = \frac{P(x|w_i) P(w_i)}{P(x)} = \begin{cases} \frac{1 \times \frac{1}{c}}{1} = \frac{1}{c} & 0 \leq x \leq \frac{cr}{c-1} \\ \text{if } i \neq j \rightarrow P(x|w_i) = 0 \rightarrow 0 & i \leq x \leq (i+1) - \frac{cr}{c-1} \\ \text{if } i = j \rightarrow P(x|w_i) = 1 \rightarrow \frac{1 \times \frac{1}{c}}{\frac{1}{c}} = 1 & o.w \end{cases}$$

$$\rightarrow P^*(c|x) = 1 - P(w_{max}|x) = \begin{cases} 1 - \frac{1}{c} & 0 \leq x \leq \frac{cr}{c-1} \\ 1 - 1 = 0 & i \leq x \leq i+1 - \frac{cr}{c-1} \\ 0 & o.w \end{cases}$$

$$\rightarrow P^* = \int_0^{\frac{cr}{c-1}} (1 - \frac{1}{c}) p(x) dx = \int_0^{\frac{cr}{c-1}} (1 - \frac{1}{c}) x^1 dx = (1 - \frac{1}{c}) x \Big|_0^{\frac{cr}{c-1}} = \frac{c-1}{c} \frac{cr}{c-1} = \boxed{r}$$

(4)

b)

$$P = \int \left[1 - \sum_{i=1}^c p^2(w_i | x) \right] p(x) dx = \int_0^{\frac{cr}{c-1}} \left[1 - \sum_{i=1}^c \frac{1}{c^2} \right] x^1 dx +$$

$$\sum_{j=1}^c \int_{\frac{j-1}{c} - \frac{cr}{c-1}}^{\frac{j}{c} - \frac{cr}{c-1}} \left[1 - \frac{1}{c} \right] \frac{1}{c} dx = \int_0^{\frac{cr}{c-1}} \left[1 - cx \frac{1}{c^2} \right] dx = \int_0^{\frac{cr}{c-1}} \left(1 - \frac{x}{c} \right) dx = \frac{c-1}{c} x \Big|_0^{\frac{cr}{c-1}} =$$

\sum تبار
 $i=j$ تبار دار - تبار دار
تبار دار

$$\frac{c-1}{c} \frac{cr}{c-1} = r$$

$$\Rightarrow a, b \rightsquigarrow \bar{p}^* = p$$

a) $Q(\theta, \theta^*) = E[\ln p(x_1, x_2, x_3; \theta) | \theta^*, D_g] =$ (4)

$$\int_{-\infty}^{+\infty} [\ln p(x_1 | \theta) + \ln p(x_2 | \theta) + \ln p(x_3 | \theta)] p(x_{32} | \theta^*, x_{31}=2) dx_{32} =$$

$$\ln p(x_1 | \theta) + \ln p(x_2 | \theta) + \int_{-\infty}^{+\infty} \ln p(x_3 | \theta) p(x_{32} | \theta^*, x_{31}=2) dx_{32} =$$

$$\ln p(x_1 | \theta) + \ln p(x_2 | \theta) + \int_{-\infty}^{+\infty} \ln p(12, x_{32} | \theta) \frac{p(12, x_{32} | \theta^*)}{\int_{-\infty}^{+\infty} p(12, x'_{32} | \theta^*) dx'_{32}} dx_{32}$$

$$p(12, x_{32} | \theta^*) = p_{x_1}(x_{31}=2 | \theta^*) p_{x_2}(x_{32} | \theta^*)$$

$$\int_{-\infty}^{+\infty} p(12, x'_{32} | \theta^*) dx'_{32} = \int_{-\infty}^{+\infty} p_{x_1}(x_{31}=2 | \theta^*) p_{x_2}(x'_{32} | \theta^*) dx'_{32} = p_{x_1}(x_{31}=2 | \theta^*) \underbrace{\int_{-\infty}^{+\infty} p_{x_2}(x'_{32} | \theta^*) dx'_{32}}_1$$

$$\rightarrow Q(\theta, \theta^*) = \ln p(x_1 | \theta) + \ln p(x_2 | \theta) + \int_{-\infty}^{+\infty} p_{x_2}(x_{32} | \theta^*) \ln p(12, x_{32} | \theta) dx_{32}$$

(5)

$$\rightarrow p(x|\theta) = p_{x_1}(x_1|\theta) p_{x_2}(x_2|\theta) = \begin{cases} \frac{1}{\theta_1 \theta_2} e^{-\theta_1 x_1} & x_1 > 0, 0 \leq x_2 \leq \theta_2 \\ 0 & \text{o.w.} \end{cases}$$

$$\rightarrow \underbrace{\ln p((2, x_{32})|\theta)}_{0 \leq x_{32} \leq \theta_2} \underbrace{p_{x_2}(x_{32}|\theta^*)}_{0 \leq x_{32} \leq \theta_2^* = 4} \rightarrow \neq 0$$

else $\rightarrow = 0$

$$\rightarrow \ln p(x_1|\theta) + \ln p(x_2|\theta) = \ln\left(\frac{1}{\theta_1 \theta_2} e^{-\theta_1}\right) + \ln\left(\frac{1}{\theta_1 \theta_2} e^{-3\theta_1}\right) = -4\theta_1 - 2\ln(\theta_1 \theta_2)$$

$$\rightarrow \int_0^{\infty} \ln p((2, x_{32})|\theta) p_{x_2}(x_{32}|\theta^*) dx_{32} = \int_0^{\min(4, \theta_2)} \ln\left(\frac{1}{\theta_1 \theta_2} e^{-2\theta_1}\right) \times \frac{1}{4} dx_{32} =$$

$$\begin{cases} \frac{1}{4} \int_0^{\theta_2} \ln\left(\frac{1}{\theta_1 \theta_2} e^{-2\theta_1}\right) dx_{32} = \frac{1}{4} \theta_2 \underbrace{\ln\left(\frac{1}{\theta_1 \theta_2} e^{-2\theta_1}\right)}_{-2\theta_1 - \ln(\theta_1 \theta_2)} & 3 \leq \theta_2 \leq 4 \\ \frac{1}{4} \int_0^4 \ln\left(\frac{1}{\theta_1 \theta_2} e^{-2\theta_1}\right) dx_{32} = \underbrace{\ln\left(\frac{1}{\theta_1 \theta_2} e^{-2\theta_1}\right)}_{-2\theta_1 - \ln(\theta_1 \theta_2)} & \theta_2 \geq 4 \\ 0 & \text{o.w.} \end{cases}$$

$$\Downarrow$$

$$Q(\theta, \theta^*) = \begin{cases} -4\theta_1 - 2\ln(\theta_1 \theta_2) - \frac{\theta_2}{4} (\ln(\theta_1 \theta_2) + 2\theta_1) & 3 \leq \theta_2 \leq 4 \\ -4\theta_1 - 2\ln(\theta_1 \theta_2) - 2\theta_1 - \ln(\theta_1 \theta_2) & \theta_2 \geq 4 \\ -4\theta_1 - 2\ln(\theta_1 \theta_2) & \text{o.w.} \end{cases}$$

(6)

انتگرال هر یک از P برابر 1 $\rightarrow \int_{-\infty}^{+\infty} P_{x_1}(x_1) dx_1 = 1 \rightarrow \int_{-\infty}^{+\infty} \frac{1}{\theta_1} e^{-\theta_1 x_1} dx_1 = 1$

$$-\int_{-\infty}^{+\infty} \frac{1}{\theta_1} e^{-\theta_1 x_1} dx_1 = 1 \rightarrow -\frac{1}{\theta_1^2} e^{-\theta_1 x_1} \Big|_{-\infty}^{+\infty} = 1 \rightarrow \frac{1}{\theta_1^2} = 1 \rightarrow \boxed{\theta_1 = 1}$$

b) $1.3 \leq \theta_2 \leq 4, \theta_1 = 1$

$$Q(\theta, \theta^*) = -4 - 2 \ln(\theta_2) + \frac{\theta_2}{4} \{-\ln \theta_2 - 2\} = -4 - (2 \ln(\theta_2) + \frac{\theta_2}{4} \{\ln \theta_2 + 2\})$$

تابع نزول مرتبه اول کمترین مقدار

$$\rightarrow \arg \max_{\theta_2} Q(\theta, \theta^*) = 3$$

$$Q(\theta, \theta^*) = -4 - (2 \ln(3) + \frac{3}{4} \{\ln 3 + 2\}) = \boxed{-8.52}$$

2. $\theta_2 > 4$

$$\arg \max_{\theta_2} Q(\theta, \theta^*) = 4$$

$$\rightarrow Q(\theta, \theta^*) = -4 - 2 \ln 4 - 2 - \ln 4 = -6 - 3 \ln 4 = \boxed{-10.16}$$

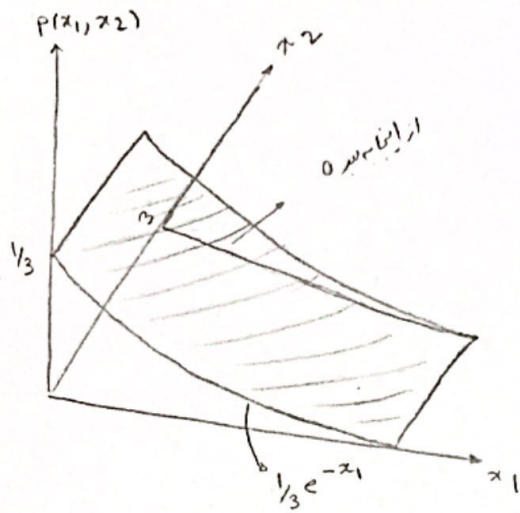
$\theta_2 = 3$ است $Q \rightarrow \theta = \begin{pmatrix} 1 \\ 3 \end{pmatrix}$

بسیار ساده

c) $\rightarrow \theta = \begin{pmatrix} 1 \\ 3 \end{pmatrix} \rightarrow P(x|\theta) = \begin{cases} \frac{1}{3} e^{-x_1} & x_1 > 0, 0 \leq x_2 \leq 3 \\ 0 & \text{o.w} \end{cases}$

$\rightarrow \theta = \begin{pmatrix} 2 \\ 4 \end{pmatrix} \rightarrow P(x|\theta) = \begin{cases} \frac{1}{8} e^{-2x_1} & x_1 > 0, 0 \leq x_2 \leq 4 \\ 0 & \text{o.w} \end{cases} \quad \textcircled{7}$

* نمودار داده با پارامترهای جدید:



$$1) L = \prod_{k=1}^n \theta e^{-\theta x_k} \xrightarrow{\ln} \ell = \sum_{k=1}^n \ln(\theta e^{-\theta x_k}) = n \ln(\theta) - \sum_{k=1}^n \theta x_k \frac{\ln(e)}{1} =$$

$$\rightarrow \frac{\partial \ell}{\partial \theta} = \frac{n}{\theta} - \sum_{k=1}^n x_k = 0 \rightarrow \frac{n}{\theta} = \sum_{k=1}^n x_k \rightarrow \theta = \frac{n}{\sum_{k=1}^n x_k}$$

$$2) L = \prod_{k=1}^n \frac{x_k}{\theta^2} e^{-\frac{x_k^2}{2\theta^2}} \xrightarrow{\ln} \ell = \sum_{k=1}^n \ln\left(\frac{x_k}{\theta^2} e^{-\frac{x_k^2}{2\theta^2}}\right) = \sum_{k=1}^n \ln(x_k) - 2n \ln(\theta) - \sum_{k=1}^n \frac{x_k^2}{2\theta^2}$$

$\underbrace{\ln\left(\frac{x_k}{\theta^2}\right)}_{\ln(x_k) - \ln(\theta^2)} - \frac{x_k^2}{2\theta^2}$

$$\rightarrow \frac{\partial \ell}{\partial \theta} = -\frac{2n}{\theta} + \frac{1}{\theta^3} \sum_{k=1}^n x_k^2 = 0 \rightarrow 2n = \frac{1}{\theta^2} \sum_{k=1}^n x_k^2 \rightarrow$$

$$\rightarrow \theta = \left\{ \frac{\sum_{k=1}^n x_k^2}{2n} \right\}^{1/2} = \left\{ \frac{1}{n} \sum_{k=1}^n \frac{x_k^2}{2} \right\}^{1/2}$$

$$3) L = \prod_{k=1}^n \sqrt{\theta} x_k^{\sqrt{\theta}-1} \xrightarrow{\ln} \ell = \sum_{k=1}^n \ln(\sqrt{\theta} x_k^{\sqrt{\theta}-1}) = \frac{n}{2} \ln(\theta) + \sqrt{\theta}-1 \sum_{k=1}^n \ln(x_k)$$

$$\frac{\partial \ell}{\partial \theta} = 0 \rightarrow \frac{n}{2\theta} + \frac{1}{2\sqrt{\theta-1}} \sum_{k=1}^n \ln(x_k) = 0$$

$$\xrightarrow{\text{set } A = \sum_{k=1}^n \ln(x_k)} n\sqrt{\theta-1} + \theta \sum_{k=1}^n \ln(x_k) = 0 \rightarrow \sqrt{\theta-1} = u \rightarrow \theta = u^2 + 1$$

$$nu + (u^2+1)A = 0 \rightarrow Au^2 + nu + A = 0 \rightarrow u = \frac{-n \pm \sqrt{n^2 - 4A^2}}{2A}$$

$$\rightarrow \theta = u^2 + 1 = \left\{ \frac{-n \pm \sqrt{n^2 - 4\left[\sum_{k=1}^n \ln(x_k)\right]^2}}{2 \sum_{k=1}^n \ln(x_k)} \right\}^2 + 1$$

(9)

```

import numpy as np
def make_data(N, f=0.3, rseed=1):
    rand = np.random.RandomState(rseed)
    x = rand.randn(N)
    return x

x = make_data(1000)

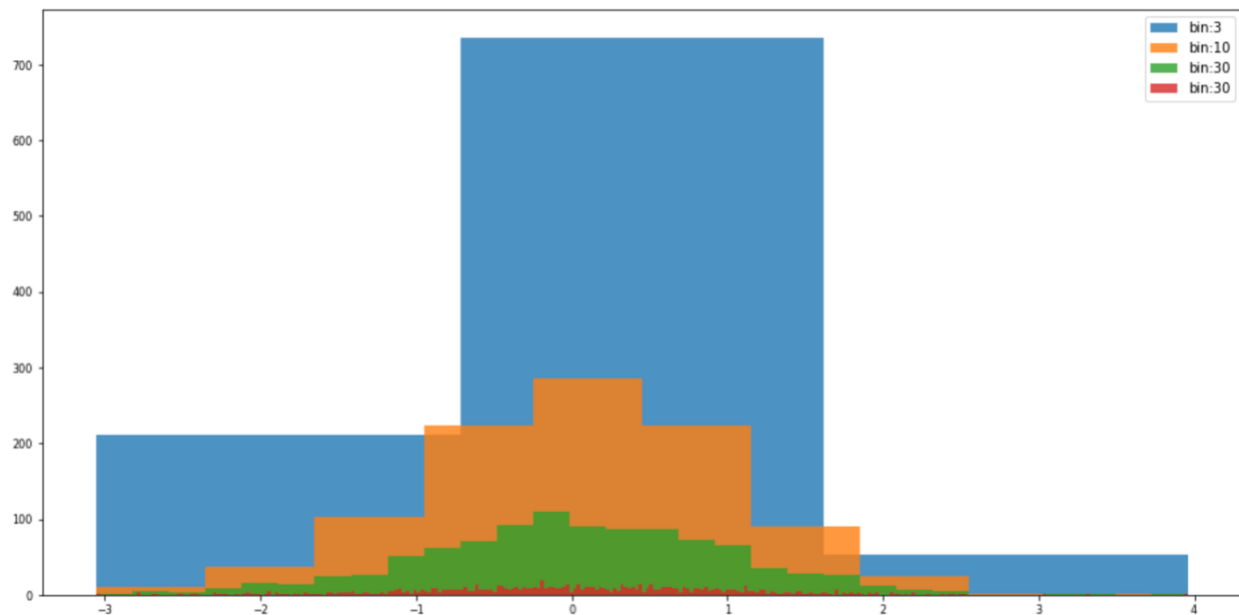
```

Part A: Plot histogram of x for bins = 3, 10, 30 and 300 and compare the result.

```

[ ] import matplotlib.pyplot as plt
plt.hist(x, bins = 3 , label="bin:3",alpha = 0.8)
plt.hist(x, bins = 10 , label="bin:10",alpha=0.8)
plt.hist(x, bins = 30 , label="bin:30",alpha=0.8)
plt.hist(x, bins = 300 , label="bin:300",alpha=0.8)
plt.legend()
#total area under the curve is equal to 1

```

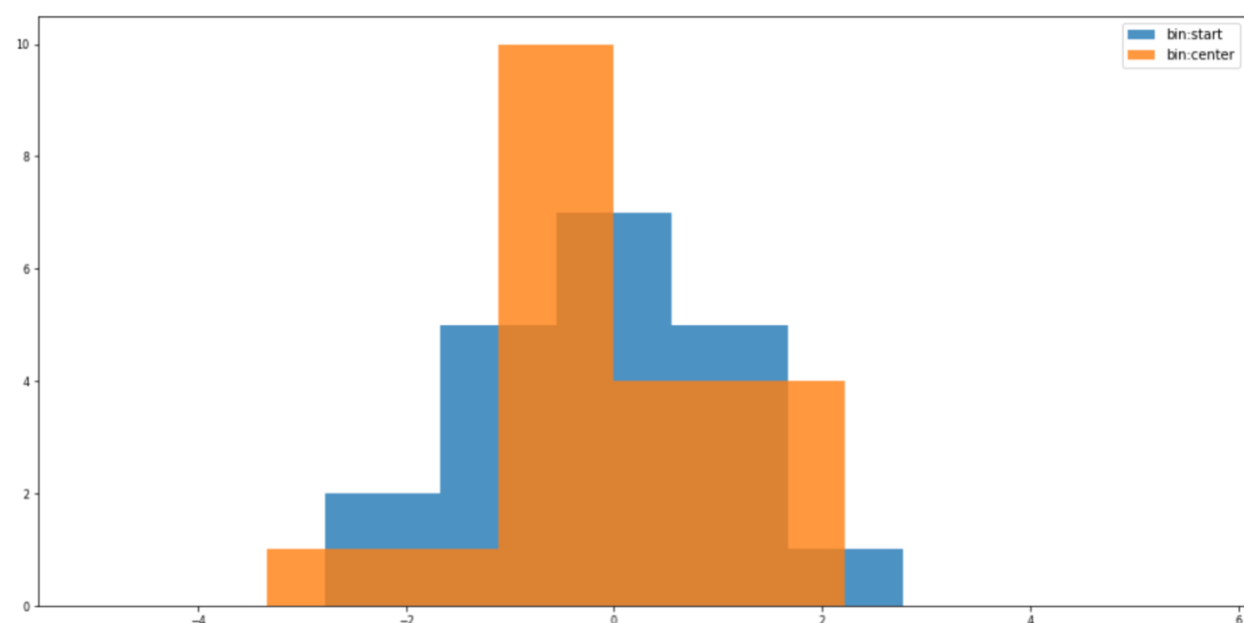


همان طور که مشاهده می شود هنگامی که تعداد bin ها زیاد باشد و در واقع طول هر بین کم باشد تعداد داده های کمتری در هر bin قرار می گیرد و مشابه شکل می بینیم که ارتفاع نمودار که همان تعداد داده ها است کمتر می شود. از طرفی افزایش تعداد بین ها نیز می تواند نمودار نویزی کند. در طرف مقابل و در صورتی که تعداد bin ها کم باشد نمودار حالت smooth تری دارد و تعداد داده ها در هر بین بیشتر است.

(b)

```
[ ] x = make_data(20)
    bins1 = np.linspace(-5, 5, 10)
    bin_length = bins1[1]-bins1[0]
    bins2 = np.linspace(-5+bin_length/2,5+bin_length/2,10)

plt.hist(x, bins = bins1,label="bin:start", alpha = 0.8)
plt.hist(x, bins = bins2,label="bin:center", alpha = 0.8)
plt.legend()
```



همان طور که در قسمت قبل نیز توضیح داده شد طول bin و یا نحوه انتخاب بازه ها و نقاط شروع و پایان آن می تواند بر روی شکل هیستوگرام تاثیر بگذارد که در واقع یکی از مشکلات هیستوگرام ها همین موضوع است. در شکل بالا نیز مشاهده می شود که تنها انتخاب بازه های متفاوت برای bin ها باعث شده یک توزیع تقریباً متقارن و توزیع دیگر با مقداری چولگی باشد. در واقع درحالی که می دانیم هر دو این نمودار ها از یک توزیع تولید شده اند اما به دلیل انتخاب بین های متفاوت با دیدن شکل هیستوگرام این گونه به نظر می رسد که داده ها از دو توزیع متفاوت هستند.

-۷

(a)

برای نوشتن توابع مورد نظر از روابط موجود در parzen استفاده شده است:

$$p_n(\mathbf{x}) = \frac{1}{n} \sum_{i=1}^n \frac{1}{V_n} \varphi \left(\frac{\mathbf{x} - \mathbf{x}_i}{h_n} \right).$$

```
def hypercube_kernel(h, x, x_i):
    if np.linalg.norm(x-x_i) <= h/2:
        return 1
    else:
        return 0

def gaussian_kernel(h, x, x_i, sigma=0.1):
    return multivariate_normal(mean=0, cov=sigma).pdf((x-x_i)/h)

def parzen_window(X, x, h, kernel_func):
    N = np.size(X,0)
    d = np.size(X,1)
    px = 1/N * 1/(h**d) * np.sum([kernel_func(h,x,xi) for xi in X ])
    return px

def parzen(X, X1, h, kernel_func):
    probs = []
    for x in X1:
        px = parzen_window(X,x,h,kernel_func)
        probs.append(px)
    return np.array(probs)
```

(b)

در این قسمت در ابتدا یک dictionary تعریف شده تا به کمک آن بدانیم به ازای هر کلاس داده های آموزشی چه هستند و پس از آن تابع گفته شده پیاده سازی شده است که در ابتدا با توجه به این که قصد داریم توزیع داده را حول چه کلاسی رسم کنیم خروجی پارزن به دست آمده و سپس نمودار مربوطه کشیده شده است.

- در این جا برای راحتی کار در ادامه ورودی پارزن به درون تابع انتقال داده شده است.

```
[ ] train_data = {}
for i in range(0,4):
    idx = np.where(y_true == i)[0]
    train_data[i] = X[idx]
```

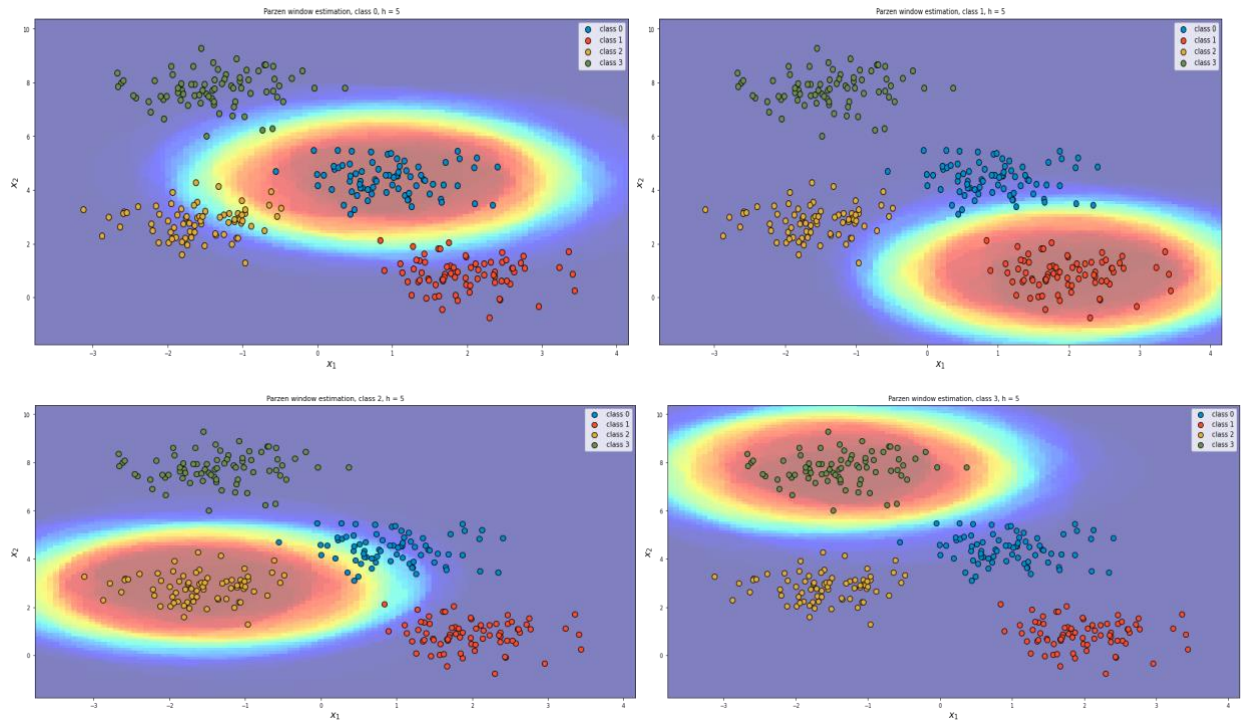
Part B:

```
[ ] def draw_point_distribution(distclass,hsize,kernel):
    pz = parzen(train_data[distclass],xy,hsize,kernel).reshape(100, 100)
    for i in classes:
        data = train_data[i]
        plt.scatter(data[:,0],data[:,1], c=colors[i], marker='o',edgecolors='black', label="class "+str(i))
    plt.ylabel('$x_2$', fontsize=14)
    plt.xlabel('$x_1$', fontsize=14)
    plt.title('Parzen window estimation, class '+str(distclass)+' , h = '+str(hsize))
    plt.legend()
    plt.imshow(pz,origin='lower', extent=(x1min,x1max,x2min,x2max), alpha=.5, aspect='auto')
    plt.show()
```

(C) تصاویر مورد نظر به ازای کرنل های مختلف به صورت زیر هستند.

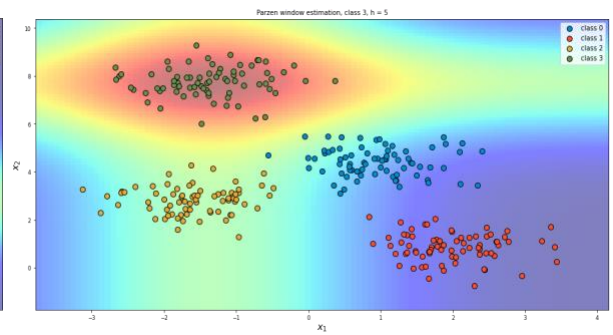
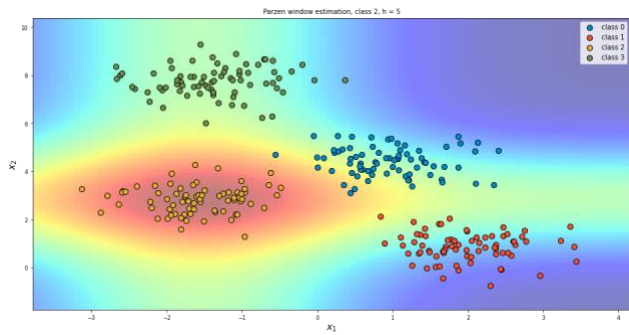
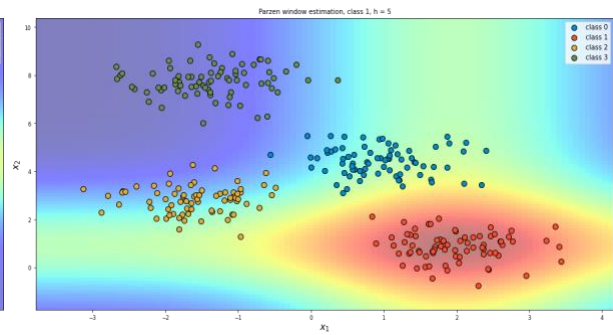
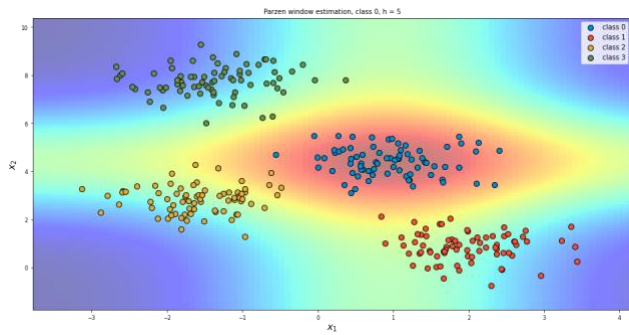
hypercube kernel plots

```
f = hypercube_kernel  
h=5  
distclasslist = [0,1,2,3]  
for distclass in distclasslist:  
    draw_point_distribution(distclass,h,f)
```



gaussian kernel plots

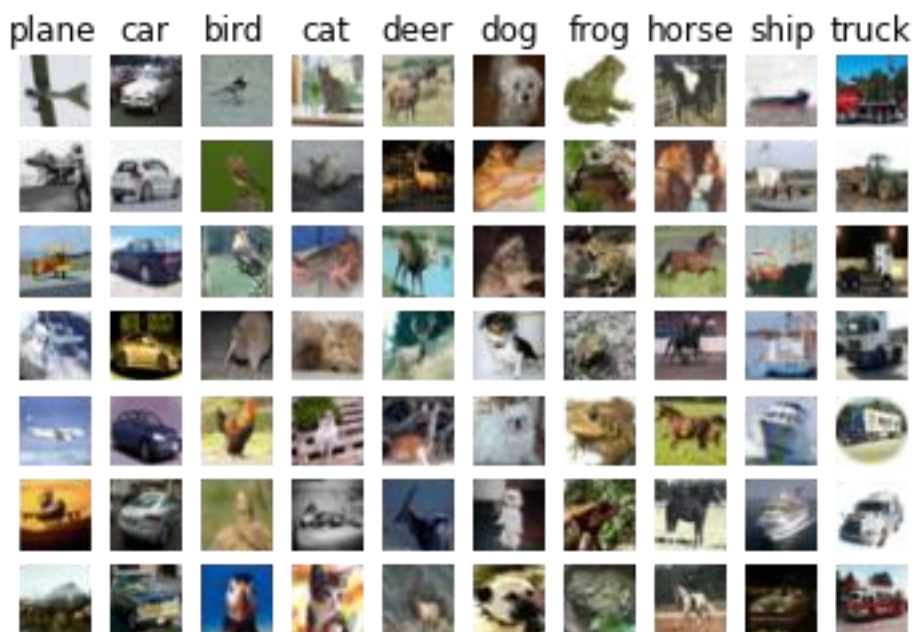
```
f = gaussian_kernel  
h=5  
distclasslist = [0,1,2,3]  
for distclass in distclasslist:  
    draw_point_distribution(distclass,h,f)
```



داده های این سوال به این صورت هستند که داده های آموزشی به صورت batch هایی که هر کدام در فایل های یک تا پنج قرار گرفته اند موجود اند و یک فایل تست نیز وجود دارد. علاوه بر این هر سطر از این داده ها بیانگر یک پیکسل است که دارای ۱۰۲۴ مقدار برای هر کدام از رنگ های rgb است یعنی هر سطر دارای $۱۰۲۴ \times ۳۲ \times ۳۲$ داده است.

```
def unpickle_batch(file):
    with open(file, 'rb') as batch_file:
        cifar = pickle.load(batch_file, encoding='bytes')
    X = cifar['data'].encode()
    Y = cifar['labels'].encode()
    X = X.reshape(10000, 3, 32, 32).transpose(0,2,3,1).astype("uint8")
    Y = np.array(Y)
    return X,Y

def load_CIFAR10(ROOT):
    x = []
    y = []
    for i in range(1,6):
        batch_file = ROOT+'data_batch_'+str(i)
        Xb, Yb = unpickle_batch(batch_file)
        x.append(Xb)
        y.append(Yb)
    Xtrain = np.concatenate(x)
    Ytrain = np.concatenate(y)
    Xtest, Ytest = unpickle_batch(ROOT+'test_batch')
    return Xtrain, Ytrain, Xtest, Ytest
```



(b)

L1 (Manhattan) distance

$$d_1(I_1, I_2) = \sum_p |I_1^p - I_2^p|$$

L2 (Euclidean) distance

$$d_2(I_1, I_2) = \sqrt{\sum_p (I_1^p - I_2^p)^2}$$

```
def eucli_distance_function(x, X_train):  
    return np.linalg.norm(X_train - x,axis=1)  
  
def manhattan_distance_function(x, X_train):  
    dist = []  
    for i in range (0,len(X_train)):  
        dist.append(np.abs(x - X_train[i]).sum())  
    return dist
```

(c)

به ازای هر نقطه تست، فاصله از تمام نقاط train را به کمک توابع تعریف شده حساب کرده و پس از مرتب کردن آن ها به ترتیب صعودی k تای اول را برداشته و لیبل های آن ها را مشاهده می کنیم. لیبلی که بیشترین تعداد را در میان k همسایه انتخاب شده داشت به عنوان جواب بازگردانده می شود.

```
test_num = 1000  
def KNN(X_train, y_train, X_test,k, distance_function):  
    flatten_X_train = X_train.reshape(X_train.shape[0], 32 * 32 * 3)  
    flatten_X_test = X_test.reshape(X_test.shape[0], 32 * 32 * 3)[:test_num]  
    y_pred = []  
    for x in flatten_X_test:  
        dist = distance_function(x,flatten_X_train)  
        knn_idx = np.argsort(dist)[:k]  
        knn_labels = y_train[knn_idx]  
        y_pred.append(np.bincount(knn_labels).argmax())  
    return y_pred  
  
def calculate_accuracy(X_train, y_train, X_test,y_test,k_list, distance_function):  
    for k in k_list:  
        y_pred = KNN(X_train, y_train, X_test, k,distance_function)  
        print('k = %d, accuracy = %f' % (k, np.mean(y_test[:len(y_pred)] == y_pred)))
```

(d)

▼ eucli_distance_function

```
[ ] k_list = [1,5,10,15,50,100]
```

```
[ ] calculate_accuracy(X_train, y_train, X_test,y_test,k_list,eucli_distance_function )
```

```
k = 1, accuracy = 0.209000  
k = 5, accuracy = 0.211000  
k = 10, accuracy = 0.204000  
k = 15, accuracy = 0.212000  
k = 50, accuracy = 0.190000  
k = 100, accuracy = 0.180000
```

▼ manhattan_distance_function

```
▶ calculate_accuracy(X_train, y_train, X_test,y_test,k_list,manhattan_distance_function)
```

```
□ k = 1, accuracy = 0.281000  
k = 5, accuracy = 0.273000  
k = 10, accuracy = 0.284000  
k = 15, accuracy = 0.279000  
k = 50, accuracy = 0.305000  
k = 100, accuracy = 0.279000
```

مشاهده می شود که استفاده از Manhattan distance نتایج بهتری داشته است. در فاصله ی اقلیدسی نتایج میان تعداد همسایه های ۱ تا ۱۵ تقریباً نزدیک به هم بوده است، در تعداد ۵۰ و ۱۰۰ کمی اختلاف بیشتر است و دقت کمتر شده است. در فاصله ی منهتن مشاهده می شود که بهترین جواب برای تعداد همسایه ۵۰ و در فاصله ی اقلیدسی به تعداد همسایه ۱۵ مربوط می شود.

- توجه شود که به علت کند بودن زمان اجرا نتایج تنها بر روی ۱۰۰۰ داده تست اعلام شده است.